

НЕЛИНЕЙНОЕ СТАЦИОНАРНОЕ И НЕСТАЦИОНАРНОЕ РАСПРОСТРАНЕНИЕ СВЕТА В ПРЯМОЗОННЫХ ПОЛУПРОВОДНИКАХ ПРИ СВЯЗЫВАНИИ ДВУХ ЭКСИТОНОВ В БИЭКСИТОН

А. Х. Ротару^а, В. З. Трончу^б

*^а Государственный университет Молдовы
277000, Кишинев, Молдова*

*^б Институт прикладной физики Академии наук Молдовы
277028, Кишинев, Молдова*

Поступила в редакцию 3 марта 1997 г.

Изучен новый класс нелинейных кооперативных явлений при распространении света в прямозонных полупроводниках. Нелинейность обусловлена процессом прямого связывания двух экситонов в биэкситон за счет их кулоновского взаимодействия, впервые описанного Ивановым, Келдышем и Панашенко. В геометрии кольцевого резонатора выведена система нелинейных дифференциальных уравнений, описывающая динамическую эволюцию когерентных экситонов, фотонов и биэкситонов. В стационарном случае получено уравнение состояния теории оптической бистабильности, существенно отличающееся от уравнений состояния в модели двухуровневых атомов и в экситонной области спектра. Изучена стабильность стационарных состояний и определены времена переключений между ветвями оптической бистабильности. Показано, что на нестабильных участках уравнения состояния возможно возникновение нелинейных периодических и хаотических самопульсаций с рождением в фазовом пространстве системы предельных циклов и странных аттракторов. Найден сценарий перехода в режим динамического хаоса. В компьютерном эксперименте изучена динамическая оптическая бистабильность. Обсуждается возможность экспериментального обнаружения изучаемых явлений.

1. ВВЕДЕНИЕ

Начиная с работы Елесина и Копаева [1] по оптическому гистерезису экситонов, задачам оптической бистабильности экситонов и биэкситонов посвящено значительное количество теоретических и экспериментальных работ [2-9].

Интерес к явлению оптической бистабильности, обусловленной экситонами и биэкситонами в конденсированных средах, связан с гигантскими оптическими нелинейностями на длинноволновом краю собственного поглощения кристалла, малыми временами релаксации, малыми энергиями и временами переключений между ветвями оптической бистабильности.

Кроме того, на нестабильных участках кривой оптической бистабильности возможно возникновение регулярных и хаотических самопульсаций в системе экситонов, фотонов и биэкситонов. Все это открывает большие перспективы для изучения принципиально новых оптических явлений с участием экситонов и биэкситонов, а также их практического применения, главным образом, для оптической обработки информации и создания на их основе нового поколения ЭВМ с оптической логической системой.

В работах [10-22] нами построена теория оптической бистабильности, оптических переключений, регулярных и стохастических колебаний с образованием классических и странных аттракторов в фазовом пространстве экситонов, фотонов и биэкситонов.

В [23, 24] была предсказана возможность возникновения индуцированной шумом оптической мультистабильности в системе когерентных экситонов и биэкситонов.

Необходимо отметить, что явление оптической бистабильности в [5, 6, 18, 19] исследовалось с учетом лишь гигантской силы осциллятора экситон-биэкситонного перехода [25–27], т. е. принимался во внимание только процесс рождения биэкситона p путем поглощения экситоном q фотона $p - q$. Между тем в работах Иванова, Келдыша и Панащенко [28, 29] впервые показано, что есть и другой процесс, определяемый членом

$$\frac{1}{\sqrt{V}} M(p, q) b_p^+ a_q a_{p-q},$$

описывающим прямое связывание двух экситонов $p - q$ и q в биэкситон p за счет их кулоновского притяжения. Фактически в этих работах предложен принципиально новый механизм экситон-биэкситонной перестройки спектров полупроводника, определяющийся связыванием двух экситонов в биэкситон за счет их кулоновского взаимодействия. В частности показано, что именно этот механизм приводит к эффективному сдвигу в длинноволновую сторону как экситонного, так и биэкситонного уровней.

Данная работа посвящена изучению стационарной и нестационарной оптической бистабильности, оптических автоколебаний и переключений при учете экситон-фотонного взаимодействия и кулоновского связывания двух экситонов в биэкситон, предложенного в [28, 29]. С помощью гейзенберговских уравнений движения для экситонов и биэкситонов и волнового уравнения для поля выведена система нелинейных дифференциальных уравнений, описывающая динамическую эволюцию системы. В стационарном случае получено уравнение состояния теории оптической бистабильности. Исследована стабильность стационарных решений. Предсказана возможность образования регулярных и хаотических самопульсаций. Найден сценарий перехода к оптическому динамическому хаосу и обсуждены возможности возникновения оптической турбулентности. Изучены времена переключений между ветвями оптической бистабильности и динамическая оптическая бистабильность в случае, когда внешняя накачка является функцией времени, имеющей параболический вид.

2. ГАМИЛЬТониАН И ОСНОВНЫЕ УРАВНЕНИЯ ЗАДАЧИ

Настоящий этап изучения оптической бистабильности характеризуется тем, что она рассматривается для конкретной геометрии опыта. Пусть на кольцевой резонатор, в который помещен полупроводник длиной L , падает монохроматическая когерентная электромагнитная волна, которая возбуждает когерентные в смысле Боголюбова экситоны. Эти экситоны благодаря кулоновскому взаимодействию [28, 29] могут связаться в биэкситон. Этот процесс, обеспечивающий нелинейность задачи, определяется членом $(1/\sqrt{V}) D b^+ a a$.

Гамильтониан задачи состоит из суммы гамильтонианов свободных экситонов, биэкситонов и поля, а также гамильтониана взаимодействия когерентных экситонов с электромагнитным полем и с когерентными биэкситонами, который в принятой модели имеет вид:

$$H_{int} = i\hbar g (aE^+ - a^+E) + i\hbar D (ba^+a^+ - b^+aa), \quad (1)$$

где $a^+(b^+)$ — оператор рождения экситона (биэкситона), g — константа экситон-фотонного взаимодействия, D — константа прямого связывания двух экситонов в биэкситон, E^+ — положительно-частотная часть электрического поля электромагнитной волны. Здесь и далее предполагается, что объем системы равен единице и опускаются индексы волновых векторов.

Уравнения движения для амплитуд экситонов a и биэкситонов b имеют вид

$$\frac{da}{dt} = -i\omega_{ex}a - gE + 2Dba^+ - \gamma_{ex}a, \tag{2}$$

$$\frac{db}{dt} = -i\omega_{biex}b - Daa - \gamma_{biex}b, \tag{3}$$

где $\hbar\omega_{ex}$ ($\hbar\omega_{biex}$) — энергия образования экситона (биэкситона); γ_{ex} и γ_{biex} — константы затухания экситонов и биэкситонов соответственно, определяющие скорость ухода квазичастиц из когерентных мод в некогерентные. Последние были введены в уравнения движения феноменологически. Отметим, что эти уравнения могут быть получены строго в рамках квантовой теории флуктуаций и затуханий из потоковой части соответствующего уравнения Фоккера–Планка [30].

Уравнение движения компоненты электромагнитного поля E эквивалентно волновому уравнению:

$$c_1^2 \frac{\partial^2 E}{\partial z^2} - \frac{\partial^2 E}{\partial t^2} = -4i\pi\hbar g \frac{\partial^2 a}{\partial t^2}, \tag{4}$$

где c_1 — скорость распространения поля в полупроводнике.

Представим амплитуды экситонов, биэкситонов и поля в виде модулированных плоских волн:

$$a(z, t) = A'(z, t) e^{i(kz - \omega t)}, \quad b(z, t) = B'(z, t) e^{2i(kz - \omega t)}, \quad E(z, t) = E'(z, t) e^{i(kz - \omega t)}, \tag{5}$$

где ω и k — несущая частота и волновой вектор, а $A'(z, t)$, $B'(z, t)$, $E'(z, t)$ — суть медленно меняющиеся амплитуды.

В дальнейшем расчет будем вести в приближении укороченных уравнений, справедливых при

$$\left| \frac{\partial E'}{\partial t} \right| \ll \omega |E'|, \quad \left| \frac{\partial E'}{\partial z} \right| \ll k |E'|, \dots$$

Подставляя (5) в (2)–(4) в приближении медленно меняющихся амплитуд и пренебрегая эффектами пространственной дисперсии экситонов и биэкситонов, которые в актуальной области спектра несущественны, получаем

$$\frac{dA'}{dt} = i(\omega - \omega_{ex})A' - gE' + 2DB'A'^+ - \gamma_{ex}A', \tag{6}$$

$$\frac{dB'}{dt} = i(2\omega - \omega_{biex})B' - DA'A' - \gamma_{biex}B', \tag{7}$$

$$\frac{\partial E'}{\partial t} + \frac{kc_1^2}{\omega} \frac{\partial E'}{\partial z} = 2\pi\hbar\omega g A' + \frac{\omega^2 - c_1^2 k^2}{2\omega} E'. \tag{8}$$

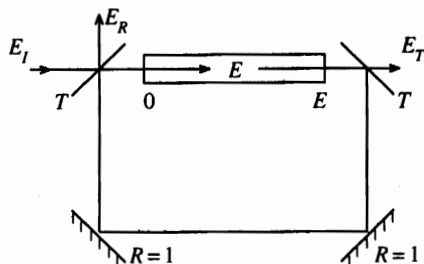


Рис. 1. Схема кольцевого резонатора: E_I, E_R, E_T — амплитуды падающего, отраженного и прошедшего полей соответственно, T — коэффициент пропускания зеркал резонатора

В дальнейшем удобно перейти к безразмерным величинам. Введем в рассмотрение следующие переменные:

$$X = \frac{E'}{E_s}, \quad B = \frac{B'}{B_s}, \quad A = \frac{A'}{A_s}, \quad E_s = \frac{\gamma_{biex}^2}{gD}, \quad A_s = B_s = \frac{\gamma_{biex}}{D},$$

$C = \alpha L / 4T$ — константа оптической бистабильности,

$$\alpha = \frac{4\pi\hbar g^2 \omega^2}{c_1 k \gamma_{ex}},$$

T — коэффициент пропускания зеркал кольцевого резонатора (см. рис. 1); $d = \gamma_{ex} / \gamma_{biex}$ — относительное затухание экситона по сравнению с биэкситоном; $\delta_0 = (2\omega_{ex} - \omega_{biex}) / \gamma_{biex}$ — приведенная энергия биэкситона; $\delta_1 = (\omega - \omega_{ex}) / \gamma_{biex}$ — безразмерная отстройка от эксионного уровня; $\sigma = C_1^2 k T / L \gamma_{biex} \omega$ — затухание электрической амплитуды поля в резонаторе (добротность резонатора); $\tau = \gamma_{biex} t$ — безразмерное время;

$$\Delta_1 = \frac{\omega^2 - c_1^2 k^2}{2\omega \gamma_{biex}}.$$

С учетом нормированных величин система уравнений (6)–(8) принимает вид

$$\frac{dX}{d\tau} = i\Delta_1 X - \frac{\sigma L}{T} \frac{\partial X}{\partial z} + 2C\sigma A, \tag{9}$$

$$\frac{dA}{d\tau} = i\delta_1 A + iX - 2iBA^* - dA, \tag{10}$$

$$\frac{dB}{d\tau} = i(2\delta_1 + \delta_0)B - iAA - B. \tag{11}$$

Как уже отмечалось, полупроводник помещен в кольцевой резонатор между двумя зеркалами с коэффициентом пропускания T . Два других зеркала считаются идеально отражающими. Граничные условия для кольцевого резонатора имеют вид

$$E(0, t) = \sqrt{T}E_I + RE(L, t - \Delta t)e^{iF}, \quad E_T = \sqrt{T}E(L, t),$$

где E_I — амплитуда поля на входе резонатора (накачка), E_T — амплитуда поля на выходе резонатора, $R = 1 - T$ — коэффициент отражения зеркал резонатора, Δt —

время запаздывания, вносимого обратной связью, $\Delta t = (L + 2l)/c_0$, c_0 — скорость света в вакууме, $F = kL + k_0(2l + L)$ — набег фазы поля в резонаторе, k_0 — волновой вектор поля в вакууме.

Вводя в рассмотрение безразмерные входную и выходную амплитуды полей

$$E_I = \frac{Y}{E_s} \sqrt{T}, \quad E_T = \frac{X}{E_s} \sqrt{T},$$

для нормированных амплитуд получаем следующие граничные условия:

$$\begin{aligned} TY + R[X_1(L, \tau - \Delta\tau) \cos F - X_2(L, \tau - \Delta\tau) \sin F] &= X_1(0, \tau), \\ R[X_1(L, \tau - \Delta\tau) \sin F + X_2(L, \tau - \Delta\tau) \cos F] &= X_2(0, \tau), \end{aligned} \tag{12}$$

где X_1 и X_2 — действительная и мнимая части поля.

В дальнейшем воспользуемся широко применяемым приближением среднего поля [2]. Эта модель впервые была предложена в [31] при исследовании оптической бистабильности в системе двухуровневых атомов, помещенных в кольцевой резонатор. Предполагается, что все функции, описывающие оптическую бистабильность, слабо зависят от пространственной переменной, и в конечном счете для всего пространства в резонаторе они считаются константами, не зависящими от координат. Законность приближения среднего поля для резонатора Фабри–Перо обсуждена в [32]. В частности, показано, что при больших значениях константы оптической бистабильности и малых значениях коэффициента пропускания результаты теории среднего поля идентичны точному численному решению уравнений Максвелла–Блоха. Метод теории среднего поля для изучения оптической бистабильности в системе экситонов и биэкситонов использовался в наших работах [5, 6, 15–19].

Используя приближение среднего поля

$$\int_0^L E'(z) dz \approx [E'(L) - E'(0)]L \tag{13}$$

и граничные условия (12), из (9)–(11) получаем систему нелинейных дифференциальных уравнений, описывающую временную эволюцию когерентных фотонов, экситонов и биэкситонов:

$$\frac{dX_1}{d\tau} = -\Delta_1 X_2 - \frac{\sigma(1 - R \cos F)}{T} X_1 - \frac{\sigma R \sin F}{T} X_2 + 2C\sigma A_1 + \sigma Y, \tag{14}$$

$$\frac{dX_2}{d\tau} = \Delta_1 X_1 - \frac{\sigma(1 - R \cos F)}{T} X_2 + \frac{\sigma R \sin F}{T} X_1 + 2C\sigma A_2, \tag{15}$$

$$\frac{dA_1}{d\tau} = -dA_1 - \delta_1 A_2 - X_1 + 2(B_1 A_1 + B_2 A_2), \tag{16}$$

$$\frac{dA_2}{d\tau} = -dA_2 + \delta_1 A_1 + X_2 + 2(B_2 A_1 - B_1 A_2), \tag{17}$$

$$\frac{dB_1}{d\tau} = -(2\delta_1 + \delta_0)B_2 - B_1 - A_1^2 + A_2^2, \tag{18}$$

$$\frac{dB_2}{d\tau} = (2\delta_1 + \delta_0)B_1 - B_2 - 2A_1 A_2, \tag{19}$$

где учитывалась комплексность величин X, A, B : $X_1 = \text{Re } X$, $X_2 = \text{Im } X$, $A_1 = \text{Re } A$, $A_2 = \text{Im } A$, $B_1 = \text{Re } B$, $B_2 = \text{Im } B$.

В настоящее время отсутствует стандартный алгоритм решения нелинейных дифференциальных уравнений общего вида, и получение аналитических решений системы уравнений (14)–(19) является трудной, если вообще разрешимой, задачей. В связи с этим в дальнейшем нами проведен численный эксперимент и анализ устойчивости стационарных состояний.

Отметим, что система уравнений (14)–(19) является частным случаем теории эволюции системы вида $\dot{X} = F(X)$, где X — вектор в пространстве $R^n (n > 1)$, каждая из компонент которого описывает одну моду, $F(X)$ является векторным полем системы.

Для диссипативных систем имеет место сокращение объема фазового пространства, поскольку дивергенция \dot{X} отрицательна:

$$\operatorname{div} \dot{X} = \operatorname{div} F = \sum_{i=1}^n \frac{\partial F_i}{\partial X_i} < 0.$$

Эволюция решений уравнений (14)–(19) существенно зависит от эволюции малой области фазового пространства этой системы. Рассматривая движение точек в фазовом пространстве как движение жидкости с дивергенцией

$$\frac{\partial \dot{X}_1}{\partial X_1} + \frac{\partial \dot{X}_2}{\partial X_2} + \frac{\partial \dot{A}_1}{\partial A_1} + \frac{\partial \dot{A}_2}{\partial A_2} + \frac{\partial \dot{B}_1}{\partial B_1} + \frac{\partial \dot{B}_2}{\partial B_2} = -2 \left[1 + d + \frac{\sigma(1 - R \cos F)}{T} \right],$$

приходим к выводу, что любой малый объем фазового пространства системы уравнений (14)–(19) стремится к нулю при $\tau \rightarrow \infty$ со скоростью $[2 + 2d + 2\sigma(1 - R \cos F)/T]^{-1}$. Если стационарные состояния системы неустойчивы, то аттракторами в фазовом пространстве могут быть либо предельный цикл, либо тор, либо странный аттрактор. Они соответствуют нелинейным периодическим, квазипериодическим и стохастическим автоколебаниям в системе.

В стационарном случае из (14)–(19) получаем уравнения, связывающие плотности когерентных экситонов и биэкситонов с интенсивностью поля:

$$Z_e \left[\left(d + \frac{2Z_e}{1 + \delta_2^2} \right)^2 + \left(\frac{2\delta_2 Z_e}{1 + \delta_2^2} - \delta_1 \right)^2 \right] = X_{st}^2, \quad (20)$$

$$Z_b = \frac{Z_e^2}{1 + \delta_2^2}, \quad (21)$$

и уравнение состояния теории оптической бистабильности, связывающее интенсивность поля на входе и выходе резонатора:

$$Y_{st}^2 = X_{st}^2 \left\{ \left[\frac{1 - R \cos F}{T} + \frac{2CQ_1}{Q} \right]^2 + \left[\frac{\Delta_1}{\sigma} + \frac{R}{T} \sin F - \frac{2CQ_2}{Q} \right]^2 \right\}, \quad (22)$$

где $Z_e = A_1^2 + A_2^2$ — плотность экситонов, $Z_b = B_1^2 + B_2^2$ — плотность биэкситонов, $X_{st} = \sqrt{X_1^2 + X_2^2}$ — амплитуда поля внутри кристалла, $\delta_2 = 2\delta_1 + \delta_0$,

$$Q_1 = d + \frac{2Z_e}{1 + \delta_2^2}, \quad Q_2 = \delta_1 - \frac{2\delta_2 Z_e}{1 + \delta_2^2}, \quad Q^2 = Q_1^2 + Q_2^2.$$

Выражение (22) представляет собой уравнение состояния теории оптической бистабильности в системе когерентных экситонов и биэкситонов в случае связывания двух экситонов в биэкситон за счет кулоновского взаимодействия. Оно является аналогом уравнений состояний в теории двухуровневых сред и экситонной области спектра [6, 15, 33] и существенно отличается от последних. В отличие от уравнений (20), (21), которые определяют нелинейную зависимость между плотностями когерентных экситонов и биэкситонов и электромагнитным полем и приводят к бистабильностям типа плотность-свет, уравнение (22) описывает зависимость выходящего из кристалла излучения от падающего. При определенных условиях оно приводит к возникновению бистабильности типа свет-свет.

3. КОМПЬЮТЕРНЫЙ ЭКСПЕРИМЕНТ. СТАЦИОНАРНАЯ И НЕСТАЦИОНАРНАЯ ОПТИЧЕСКАЯ БИСТАБИЛЬНОСТЬ И САМОПУЛЬСАЦИИ

Очень интересно исследование стабильности стационарных состояний в связи с возможностью возникновения оптических нелинейных самопульсаций в системе когерентных квазичастиц.

Характеристическое уравнение для якобиана системы имеет вид

$$|\lambda E - J| = \begin{vmatrix} -\lambda - P_1 & -P_2 & 2C\sigma & 0 & 0 & 0 \\ P_2 & -\lambda - P_1 & 0 & 2C\sigma & 0 & 0 \\ -1 & 0 & -\lambda - d + 2B_1 & -\delta_1 + 2B_2 & 2A_1 & 2A_2 \\ 0 & -1 & \delta_1 + 2B_2 & -\lambda - d - 2B_1 & -2A_2 & 2A_1 \\ 0 & 0 & -2A_1 & 2A_2 & -\lambda - 1 & -\delta_2 \\ 0 & 0 & -2A_2 & 2A_1 & \delta_2 & -\lambda - 1 \end{vmatrix},$$

где

$$P_1 = \frac{\sigma(1 - R \cos F)}{T}, \quad P_2 = \Delta_1 + \frac{\sigma R \sin F}{T},$$

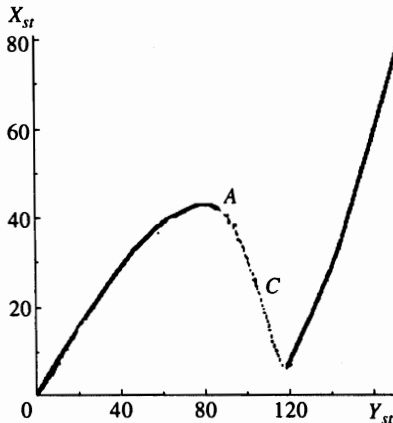


Рис. 2. Стационарная зависимость амплитуды прошедшего поля X_{st} от амплитуды падающего Y_{st} при значениях параметров $\delta_0 = 5$, $C = 5$, $F = 2\pi n$, $\Delta_1 = 0$, $\delta_1 = 10$ (единица величин X_{st} и Y_{st} соответствует 1 В/см)

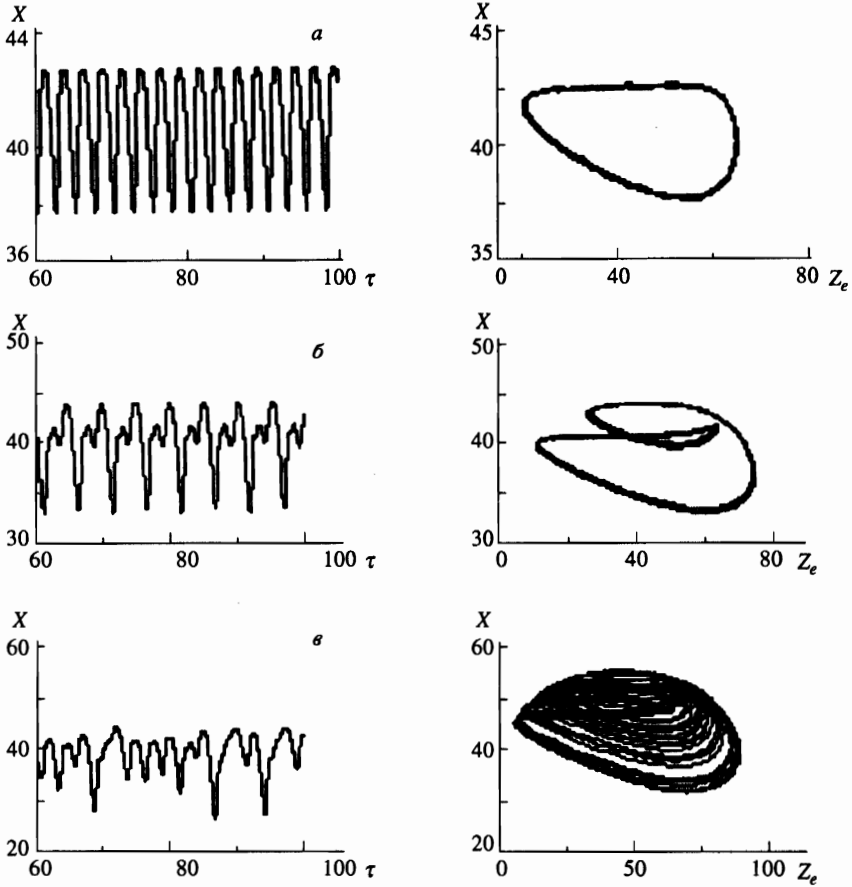


Рис. 3. Колебания в кольцевом резонаторе (слева) и их фазовые портреты на плоскости $X-Z_e$ (справа) при $\delta_0 = 5, C = 5, F = 2\pi n, \Delta_1 = 0, \delta_1 = 10, \sigma = 1, d = 0.1, T = 0.01$ и различных значениях внешней накачки: $a - Y = 82.5, б - Y = 83, в - Y = 85$ (одна единица X соответствует 1 В/см, $\tau - 10^{-12}$ с, $Z_e - 10^{14}$ см $^{-3}$

E — единичная матрица. Если действительные части всех корней характеристического уравнения отрицательны, то соответствующие стационарные состояния являются устойчивыми по отношению к малым возмущениям. С использованием критерия Раунса–Гурвица показано, что часть кривой зависимости $X_{st}(Y_{st})$ является неустойчивой. На рис. 2 представлена стационарная нелинейная зависимость амплитуды выходящего из резонатора излучения X_{st} от падающего Y_{st} при $\delta_0 = 5, C = 5, F = 2\pi n, \Delta_1 = 0, \delta_1 = 10$. Как видно из рисунка, при этих значениях параметров оптическая бистабильность типа свет–свет отсутствует. Возникающее окно неустойчивости обозначено пунктиром. В точке A , соответствующей началу области неустойчивости в системе когерентных квазичастиц, возникают нелинейные периодические самопульсации, а фазовая траектория выходит на предельный цикл (рис. 3а). По мере передвижения изображающей точки к центру окна неустойчивости колебания становятся более сложными. Наблюдается каскад бифуркаций удвоения периода колебаний (см. рис. 3б), в резуль-

тате чего в средней части окна нестабильности устанавливается стохастический режим автоколебаний. В системе когерентных экситонов, фотонов и биэкситонов возникает оптическая турбулентность. На рис. 3в представлен стохастический автомодуляционный процесс и соответствующие проекции фазовых траекторий на плоскость $X-Z_e$ при внешней накачке $Y = 85$. Поверхность в фазовом пространстве, к которой стягиваются фазовые траектории, меняется с изменением внешней накачки. В отличие от знаменитого лоренцевского динамического хаоса, где стохастические осцилляции и рождение странного аттрактора связаны с перескоками между соответствующими состояниями равновесия, в данном случае стохастичность связана с возникновением странного аттрактора в шестимерном фазовом пространстве, которое сложным образом заполняется непересекающимися фазовыми траекториями.

При дальнейшем увеличении внешней накачки странный аттрактор становится неустойчивым и переходит в устойчивый предельный цикл, а в системе устанавливаются нелинейные регулярные периодические самопульсации.

С увеличением расстройки резонанса между частотой внешнего электромагнитного поля и частотой экситона δ_1 стационарная зависимость между амплитудой выходящего из резонатора излучения и амплитудой падающего излучения $X_{st}(Y_{st})$ существенно изменяется. При малых значениях Y_{st} имеет место линейная однозначная связь между X_{st} и Y_{st} . При увеличении Y_{st} эта связь становится нелинейной и при определенном значении между параметрами — неоднозначной.

На рис. 4а представлена стационарная зависимость амплитуды проходящего через резонатор излучения X_{st} от амплитуды падающего поля Y_{st} при $\cos F = 1$, $C = 5$, $\Delta_1 = 0$, $\delta_1 = 30$, $\delta_0 = 5$, $\sigma = 10$. Как видно, при этих значениях параметров возникает область трехзначности, в которой одному и тому же значению Y_{st} соответствуют три значения X_{st} . При малых значениях Y_{st} амплитуда выходящего излучения с ростом амплитуды входящего излучения растет вдоль верхней ветви гистерезисной кривой. При определенном значении Y_{st} система совершает скачок на нижнюю ветвь кривой, вдоль которой происходит увеличение X_{st} при увеличении Y_{st} . Если уменьшать амплитуду падающего поля, то движение изображающей точки происходит вдоль нижней ветви гистерезисной кривой, после чего происходит скачок на верхнюю ветвь, вдоль которой и происходит дальнейшее изменение X_{st} при уменьшении Y_{st} . Штрихами обозначена неустойчивая часть зависимости $X_{st}(Y_{st})$. Таким образом, в системе когерентных экситонов, фотонов и биэкситонов возникает стационарная оптическая бистабильность. В отличие от модели двухуровневых атомов, где оптическая бистабильность реализуется с ходом против часовой стрелки, в данном случае оптическая бистабильность происходит по часовой стрелке. Исследование показывает, что при этих значениях параметров как верхняя, так и нижняя ветви оптической бистабильности являются устойчивыми. Поэтому представляет интерес изучение времен переключения между ними. Основной исследования времен переключений является система уравнений (14)–(19). Нами проведен компьютерный эксперимент, в котором начальные условия берутся таким образом, чтобы они соответствовали значению накачки Y_{st} вблизи порога переключения вниз. В момент времени $\tau = 0$ задается скачкообразное изменение накачки Y_{st} , такое, что $Y_{st} + \Delta Y$ убывает по другую сторону от соответствующего порога переключения. На рис. 5 представлены переключения с верхней ветви кривой оптической бистабильности на нижнюю (а) и с нижней на верхнюю (б). Как видно из рисунка, времена переключений одного порядка и составляют $4\gamma_{biex}$. Так как времена релаксации экситонов и биэкситонов $t \approx 10^{-10}$ – 10^{-12} с, оптические переключения в системе когерентных экситонов

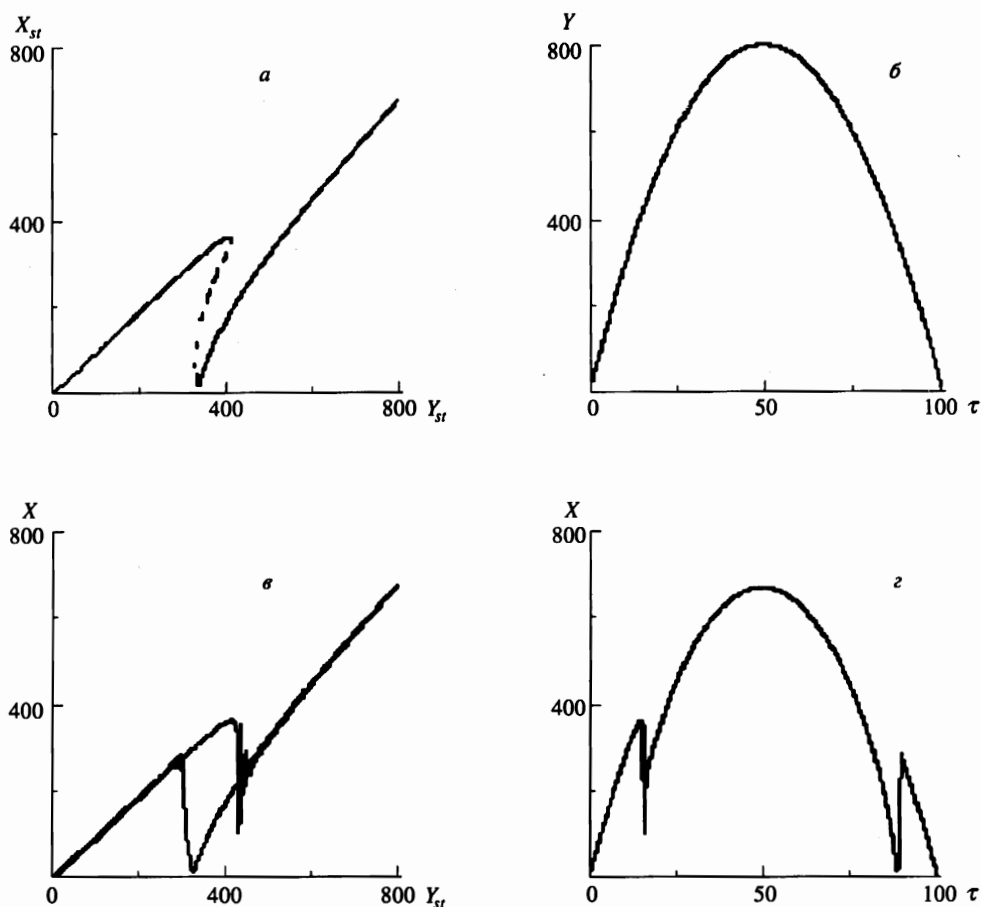


Рис. 4. *a* — Стационарная зависимость амплитуды прошедшего поля X_{st} от амплитуды падающего Y_{st} при $\delta_0 = 5$, $C = 5$, $F = 2\pi n$, $\Delta_1 = 0$, $\delta_1 = 30$, $\sigma = 1$, $d = 0.1$, $T = 0.01$. *б* — Форма падающего импульса. *в* — Динамическая оптическая бистабильность. *г* — Форма импульса на выходе из резонатора

и биэкситонов лежат в пикосекундном диапазоне, что дает возможность использовать изучаемый нами механизм оптической бистабильности при конструировании быстродействующих оптических ячеек памяти.

При уменьшении добротности резонатора переключения сопровождаются осцилляциями, что приводит к ухудшению работы бистабильного элемента.

В случае $F = \pi/2 + 2\pi n$ при параметрах $C = 5$, $\Delta_1 = 0$, $\delta_1 = -30$, $\delta_0 = 5$, $\sigma = 1$ в системе возникает гистерезис в виде восьмерки (см. рис. 6*a*). При этом для появления такого гистерезиса необходимы большие интенсивности падающего излучения.

При экспериментальном исследовании оптической бистабильности часто наблюдают не стационарную, а динамическую оптическую бистабильность, которая получается в результате сравнения зависящей от времени внешней накачки с соответствующим ей откликом системы. Впервые оптическая бистабильность такого рода была рассмотрена

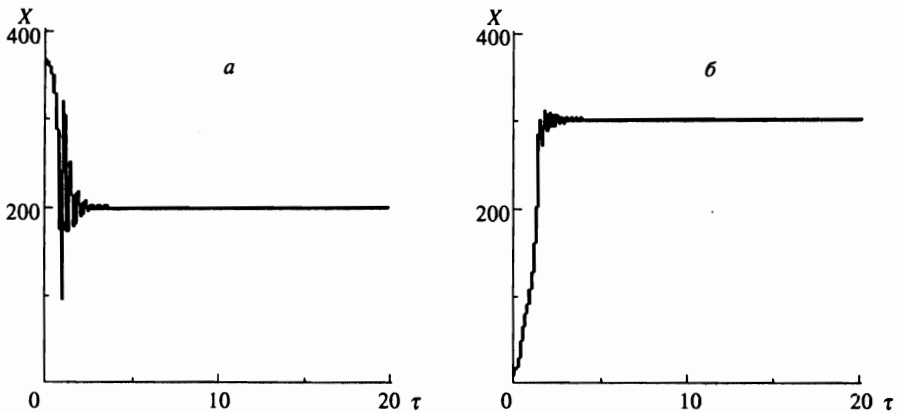


Рис. 5. Оптические переключения с верхней ветви кривой оптической бистабильности на нижнюю (а) и с нижней на верхнюю б

в [32]. Теоретически и экспериментально было изучено поведение нелинейного интерферометра Фабри–Перо, заполненного керровской средой, под действием импульсов различной формы. Авторы получили отличное согласие теории и эксперимента.

Мы решали систему нелинейных дифференциальных уравнений (14)–(19) численно с учетом граничных условий для кольцевого резонатора, где внешняя накачка $Y(\tau)$ — функция времени, имеющая параболический вид. Результаты проведенного компьютерного эксперимента представлены на рис. 4б–г при $F = 2\pi n$, $C = 5$, $\Delta_1 = 0$, $\delta_1 = 30$, $\delta_0 = 5$, $\sigma = 10$, $d = 0.1$, $T = 0.01$ и на рис. 6б–г при $\delta_0 = 5$, $C = 5$, $F = \pi/2 + 2n\pi$, $\Delta_1 = 0$, $\delta_1 = -30$, $\sigma = 1$, $d = 0.1$, $T = 0.01$. На рис. 4б и 4г представлены соответственно формы падающего на резонатор и выходящего из резонатора электромагнитного поля от времени, в случае когда длительность импульса $\tau = 100$ ($t = 100 \cdot 10^{-12}$ с). Из рис. 4г видно, что прошедший через резонатор импульс деформируется. На рис. 4з показана зависимость амплитуды выходящего из резонатора излучения от амплитуды падающего. Как видно, в этом случае в системе когерентных экситонов, фотонов и биэкситонов возникает динамическая оптическая бистабильность с ходом по часовой стрелке. Если уменьшить длительность импульса, то система не успевает реагировать на его прохождение и он проходит без каких-либо изменений.

В заключение обсудим возможность экспериментального наблюдения предсказанных эффектов. Приведем численные оценки для кристаллов типа CdS, в которых $\hbar D = 10^{-9}$ эВ·см^{3/2}, $\hbar g = 0.1$ эВ/(см^{1/2}·В), $\hbar\omega = 2$ эВ, $\hbar c_0 k_0 \approx 2$ эВ, $\hbar\gamma_{ex} = 10^{-5}$ эВ, $\hbar\gamma_{biex} = 10^{-4}$ эВ, $T = 0.01$, $L = 10^{-6}$ м, $\hbar(2\omega - \omega_{biex}) = -0.04$ эВ. Критическая мощность, при которой возможно наблюдение изучаемых нами нелинейных явлений, $P \sim 40 \cdot 10^3$ Вт/см². При этом концентрации экситонов и биэкситонов порядка 10^{16} см⁻³ и 10^{14} см⁻³ соответственно. Времена переключений вверх $t_{\uparrow} \sim 2 \cdot 10^{-12}$ с и вниз $t_{\downarrow} \sim 4 \cdot 10^{-12}$ с, а энергия переключения порядка $50 \cdot 10^{-12}$ Дж.

Таким образом, приведенные нами численные оценки позволяют сделать вывод о реальной возможности наблюдения оптических гистерезисов, переключений и самопulsаций в системе когерентных экситонов и биэкситонов в полупроводниках при связывании двух экситонов в биэкситон.

Отметим, что изученные нами хаотические автоколебания, возникающие благодаря

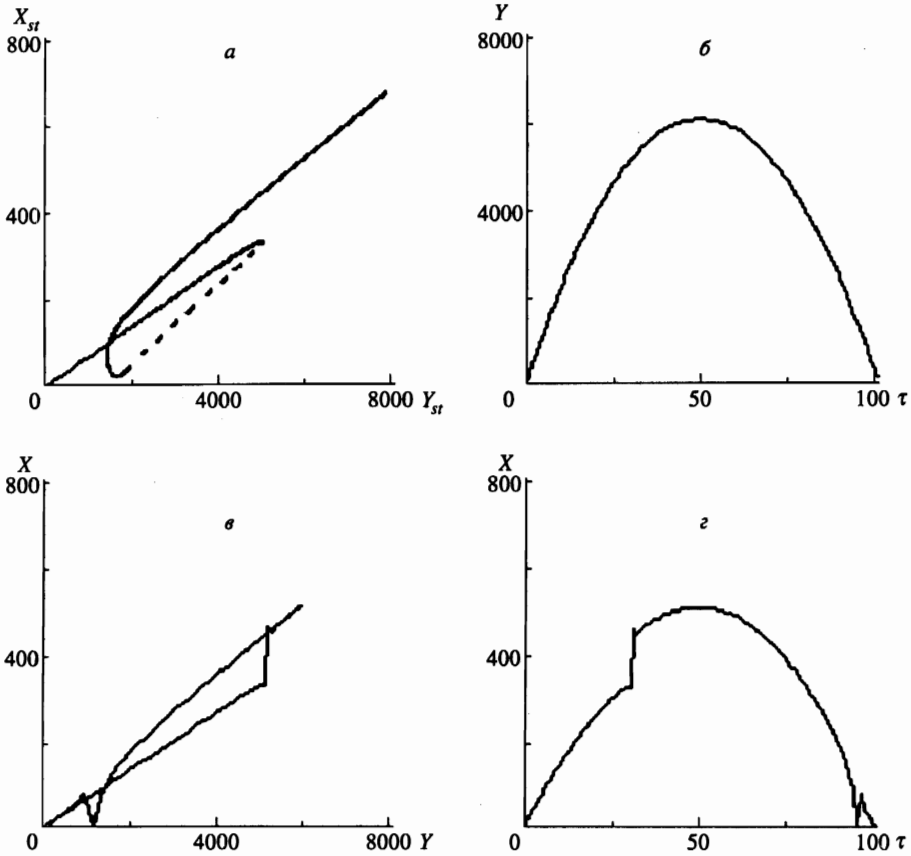


Рис. 6. *а* — Стационарная зависимость амплитуды прошедшего поля X_{st} от амплитуды падающего Y_{st} при $\delta_0 = 5$, $C = 5$, $F = \pi/2 + 2n\pi$, $\Delta_1 = 0$, $\delta_1 = -30$, $\sigma = 1$, $d = 0.1$, $T = 0.01$. *б* — Форма падающего импульса. *в* — Динамическая оптическая бистабильность. *г* — Форма импульса на выходе из резонатора

неустойчивости стационарных состояний, являются еще одним примером возникновения временных структур в нелинейных динамических системах. Между тем исходные уравнения являются нелинейными уравнениями в частных производных, описывающими пространственно-временную эволюцию когерентных квазичастиц в конденсированных средах. Как известно, для уравнений такого типа возможно развитие пространственной турбулентности [34]. В [34] обнаружен новый класс переходов типа «порядок-хаос» в виде движущихся фронтов перехода. Аналогичные явления могут иметь место и в системе когерентных экситонов, фотонов и биэкситонов. Наряду с динамической оптической турбулентностью возможно развитие турбулентности в пространстве и возникновение структур типа «порядок-хаос» и «хаос-порядок».

Литература

1. В. Ф. Елесин, Ю. В. Кобаев ЖЭТФ 62, 1447 (1972).
2. Х. Гиббс, *Оптическая бистабильность. Управление светом с помощью света*, Мир, Москва (1988).
3. В. А. Кочелап, Л. Ю. Мелников, В. Н. Соколов, ФТП 16, 1167 (1982).
4. В. А. Кочелап, Л. Ю. Мелников, В. Н. Соколов, КЭ 24, 42 (1987).
5. А. Х. Ротару, В. А. Залож, *Оптическая самоорганизация экситонов и биэкситонов в полупроводниках*, Штиинца, Кишинев (1990).
6. П. И. Хаджи, Г. Д. Шибаршина, А. Х. Ротару, *Оптическая бистабильность в системе когерентных экситонов и биэкситонов в полупроводниках*, Штиинца, Кишинев (1988).
7. А. М. Бакиев, В. С. Днепровский, З. Д. Ковалюк и др., Письма в ЖЭТФ 38, 493 (1983).
8. В. С. Днепровский, УФН 145, 149 (1985).
9. В. С. Днепровский, Изв. АН СССР, сер. физ. 50, 661 (1986).
10. А. Н. Rotaru, G. D. Shibarshina, Phys. Lett. 109, 292 (1985).
11. А. Х. Ротару, ФТТ 29, 3282 (1987).
12. А. Х. Ротару, ФТТ 28, 2492 (1986).
13. А. И. Бобрышева, В. А. Залож, А. Х. Ротару, ФТТ 33, 915 (1991).
14. В. А. Залож, С. А. Москаленко, А. Х. Ротару, ЖЭТФ 95, 601 (1989).
15. Б. Ш. Парканский, А. Х. Ротару, ЖЭТФ 99, 899 (1991).
16. Б. Ш. Парканский, А. Х. Ротару, ФТТ 33, 2250 (1991).
17. Б. Ш. Парканский, А. Х. Ротару, ФТТ 33, 3378 (1991).
18. В. А. Залож, А. Н. Ротару, В. З. Трончу, ЖЭТФ 103, 289 (1993).
19. В. А. Залож, А. Н. Ротару, В. З. Трончу, ЖЭТФ 105, 164 (1994).
20. А. Н. Ротару, С. В. Шура, ЖЭТФ 104, 2374 (1993).
21. А. Н. Ротару, С. В. Шура, ЖЭТФ 105, 450 (1995).
22. В. Р. Мисько, С. А. Москаленко, А. Х. Ротару, Ю. М. Швера, ЖЭТФ 99, 1215 (1991).
23. А. Е. Барбэрошии, И. И. Гонця, Ю. Н. Ника, А. Х. Ротару, ЖЭТФ 104, 2655 (1993).
24. А. Х. Ротару, В. А. Залож, ФТТ 33, 1973 (1991).
25. А. А. Гоголин, Э. И. Рашба, Письма в ЖЭТФ 17, 690 (1973).
26. Э. И. Рашба, ФТТ 8, 1241 (1974).
27. E. Hanamura, Sol. State Comm. 12, 951 (1973).
28. А. Л. Иванов, П. В. Панасченко, Письма в ЖЭТФ 49, 34 (1991).
29. А. Л. Иванов, Л. В. Келдыш, В. В. Панасченко, ЖЭТФ 99, 641 (1991).
30. С. А. Москаленко, А. Х. Ротару, Ю. М. Швера, ТМФ 75, 295 (1988).
31. P. Meystre, Opt. Commun. 26, 277 (1978).
32. T. Bischofberger and Y. Shen, Phys. Rev. A 19, 1169 (1979).
33. R. Bonifacio and L. Lugiato, Lett. Nuovo Cimento 21, 510 (1978).
34. И. С. Арансон, А. В. Гапонов-Грехов, М. И. Рабинович, Н. М. Старобинец, ЖЭТФ 90, 1707 (1986).